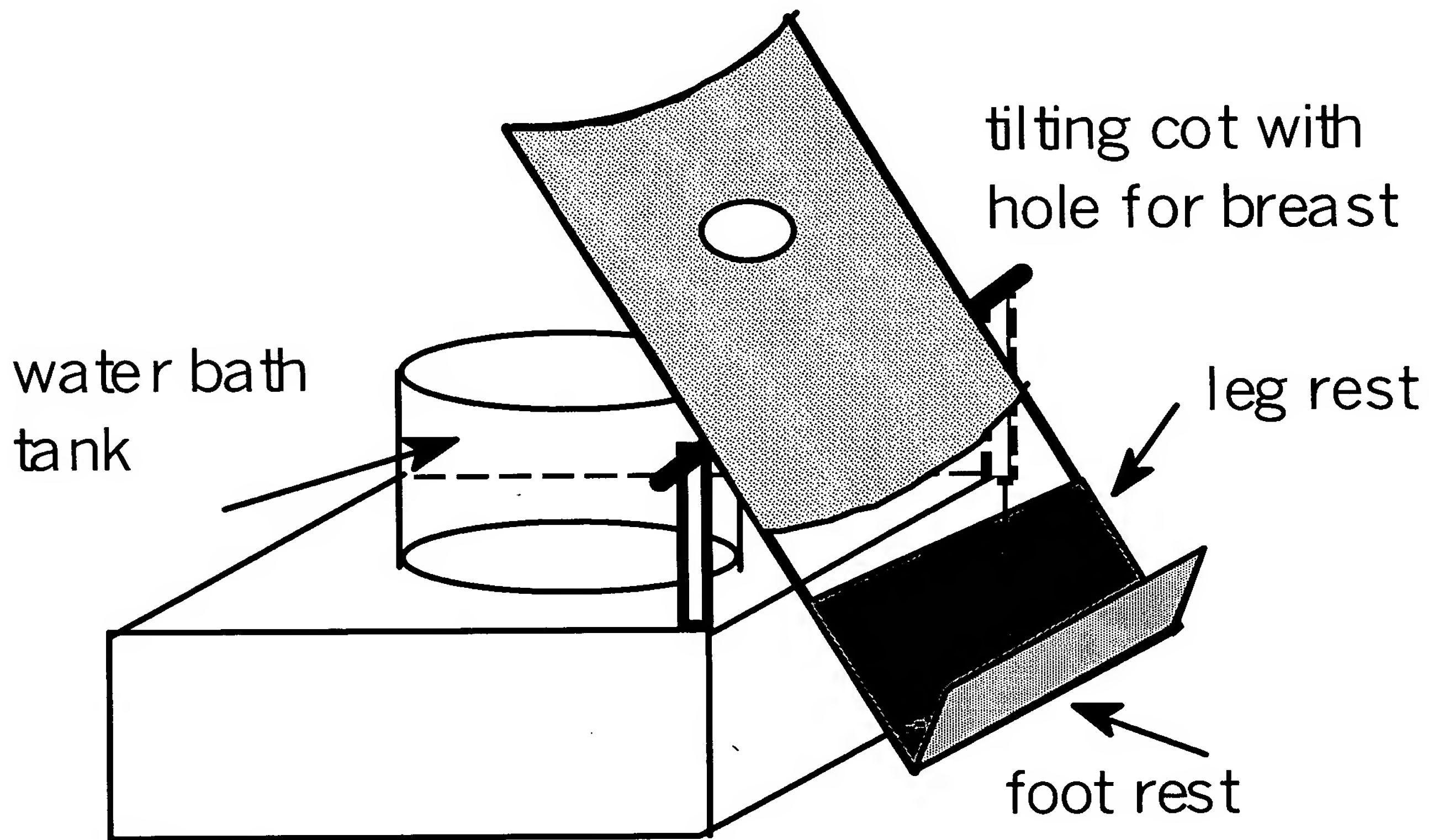


Fig. 1

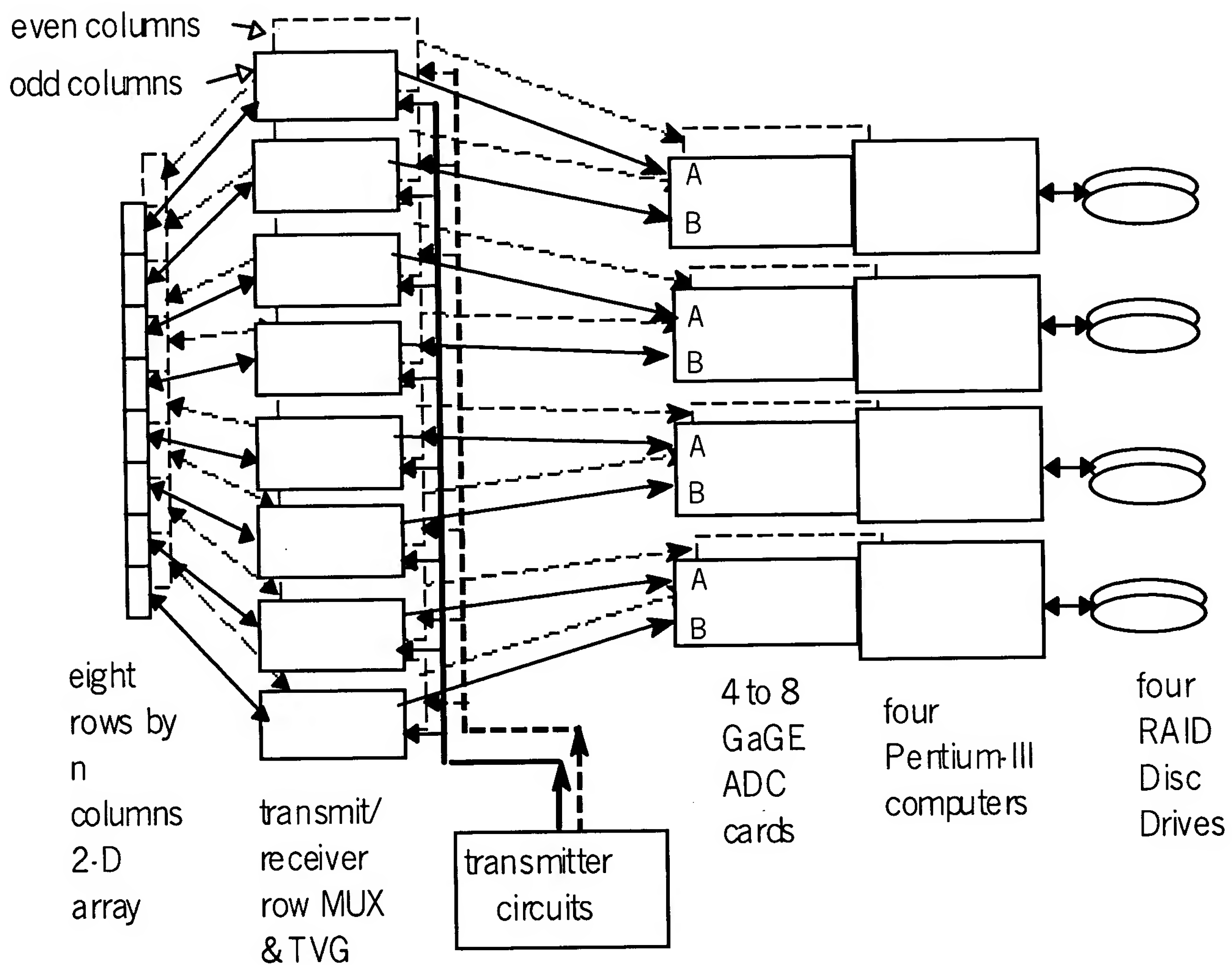


# Fig. 2





# Fig. 3.a



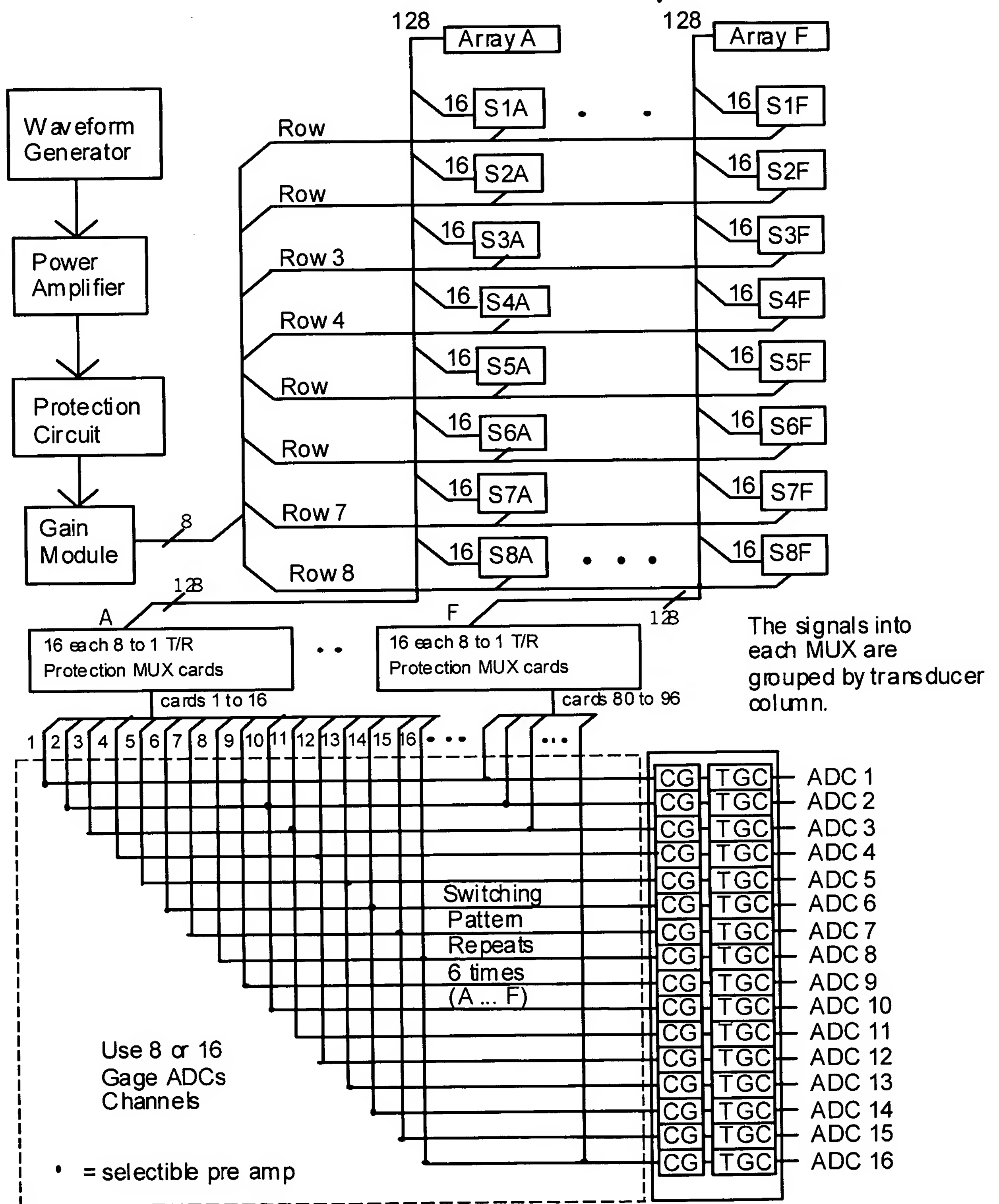


Fig. 3.b

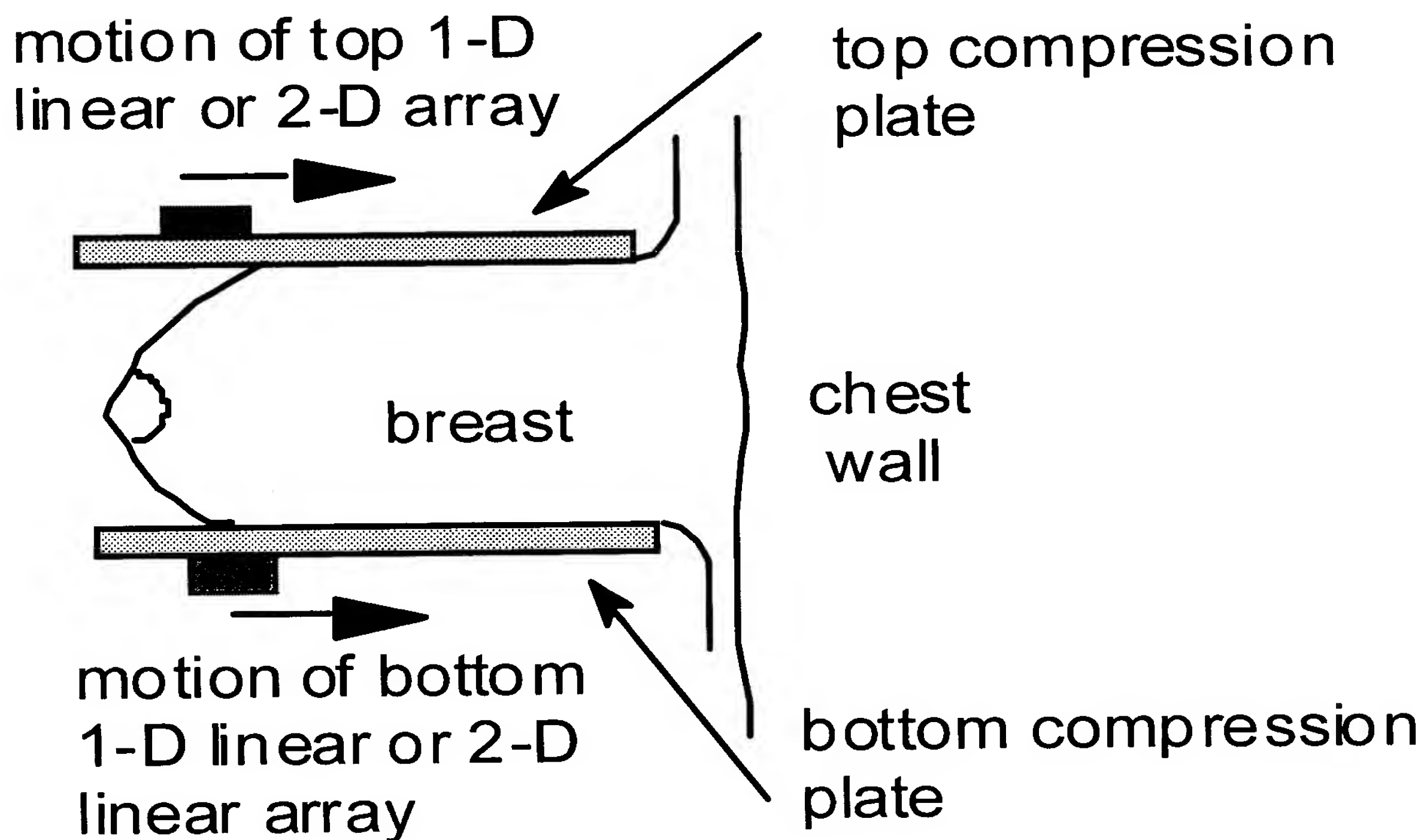


Fig. 4.a

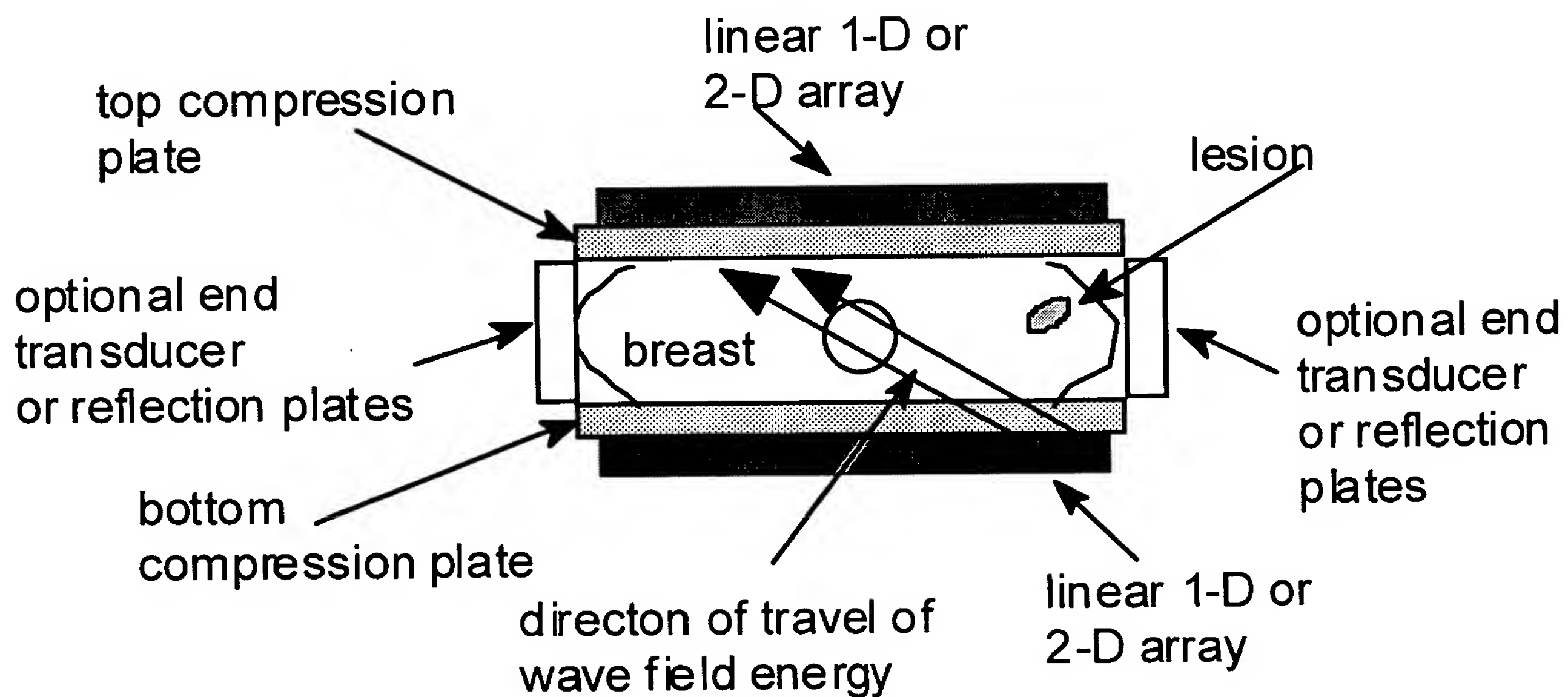


Fig. 4.b

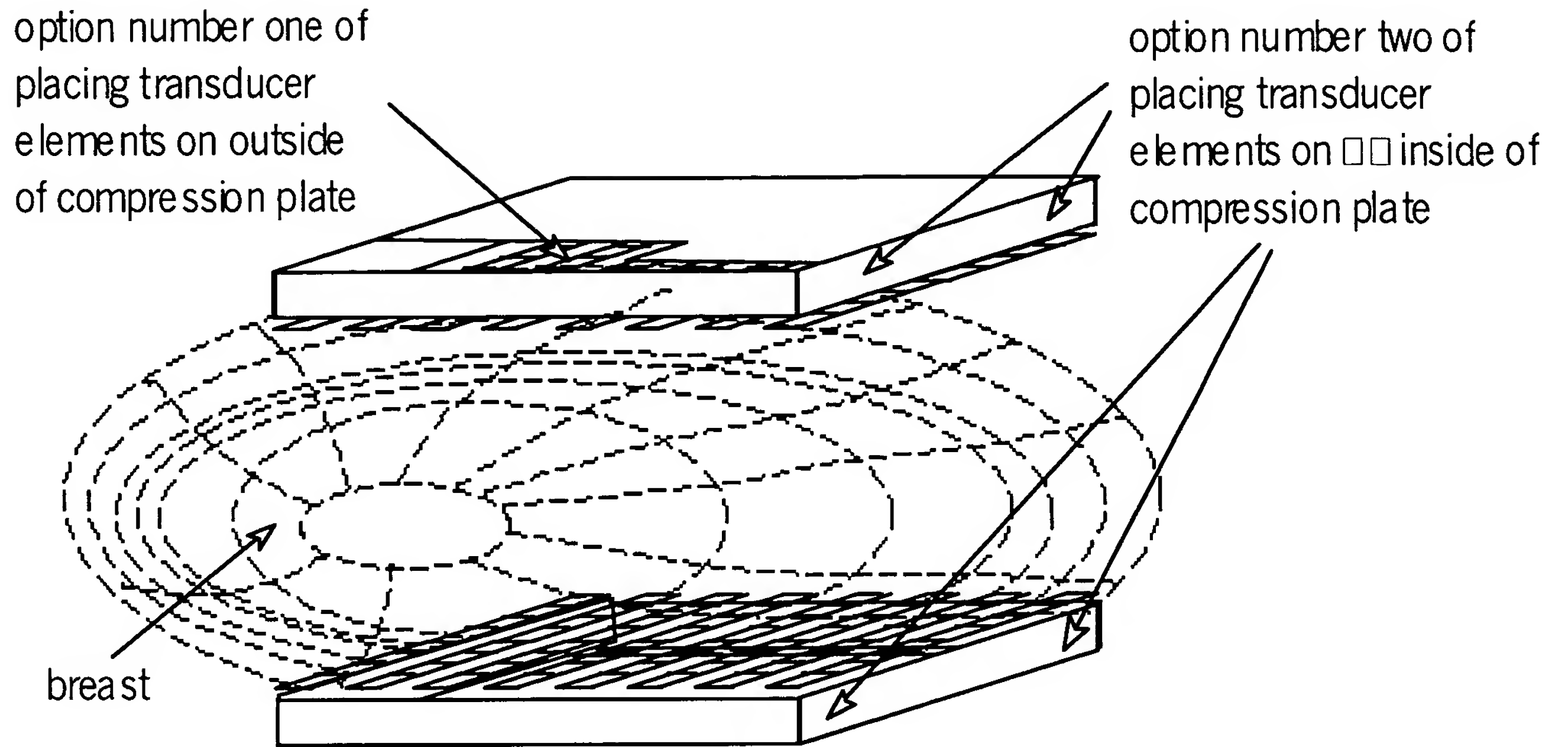


Fig. 4.c

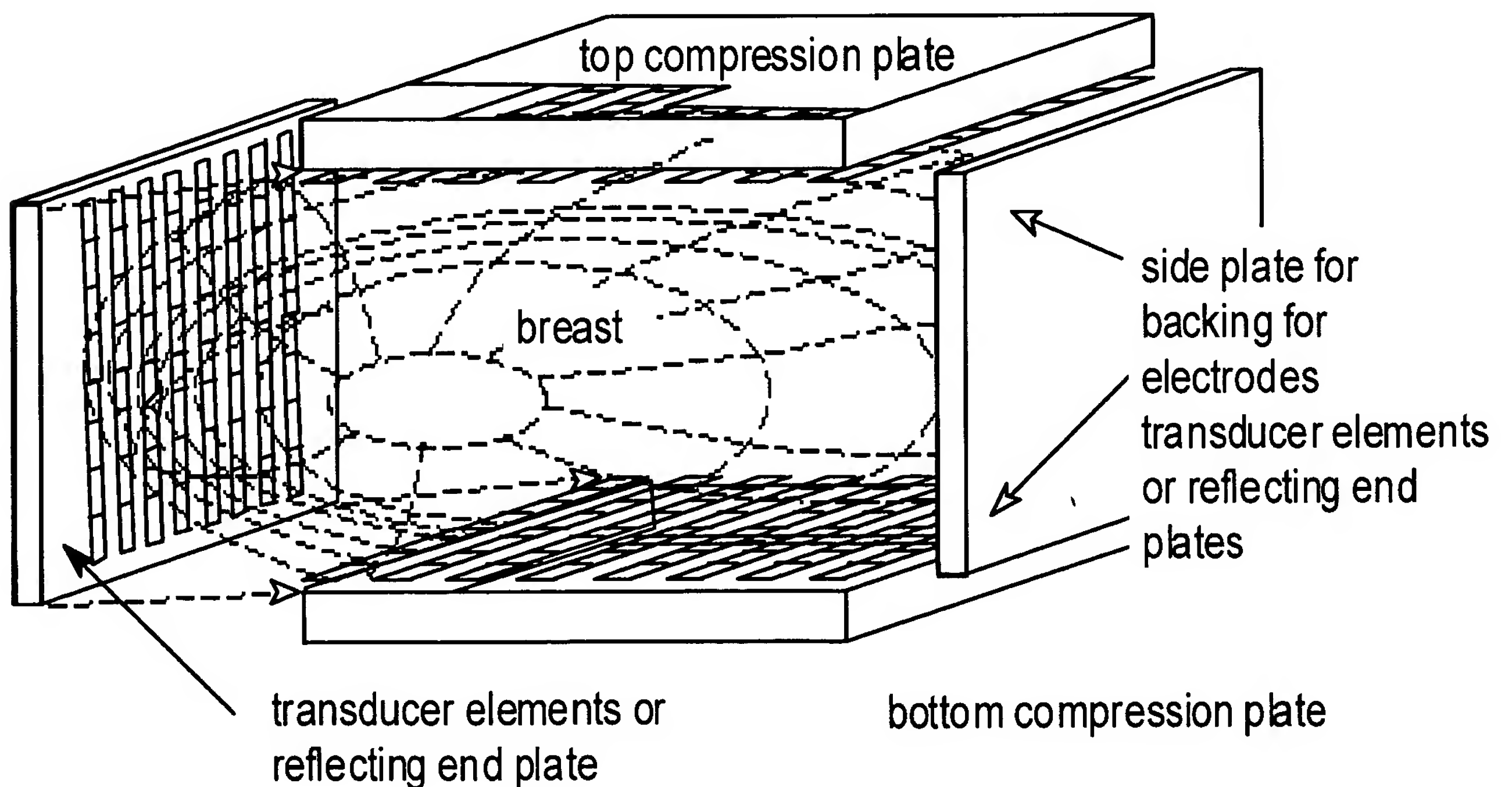


Fig. 4.d



# Fig. 4.e

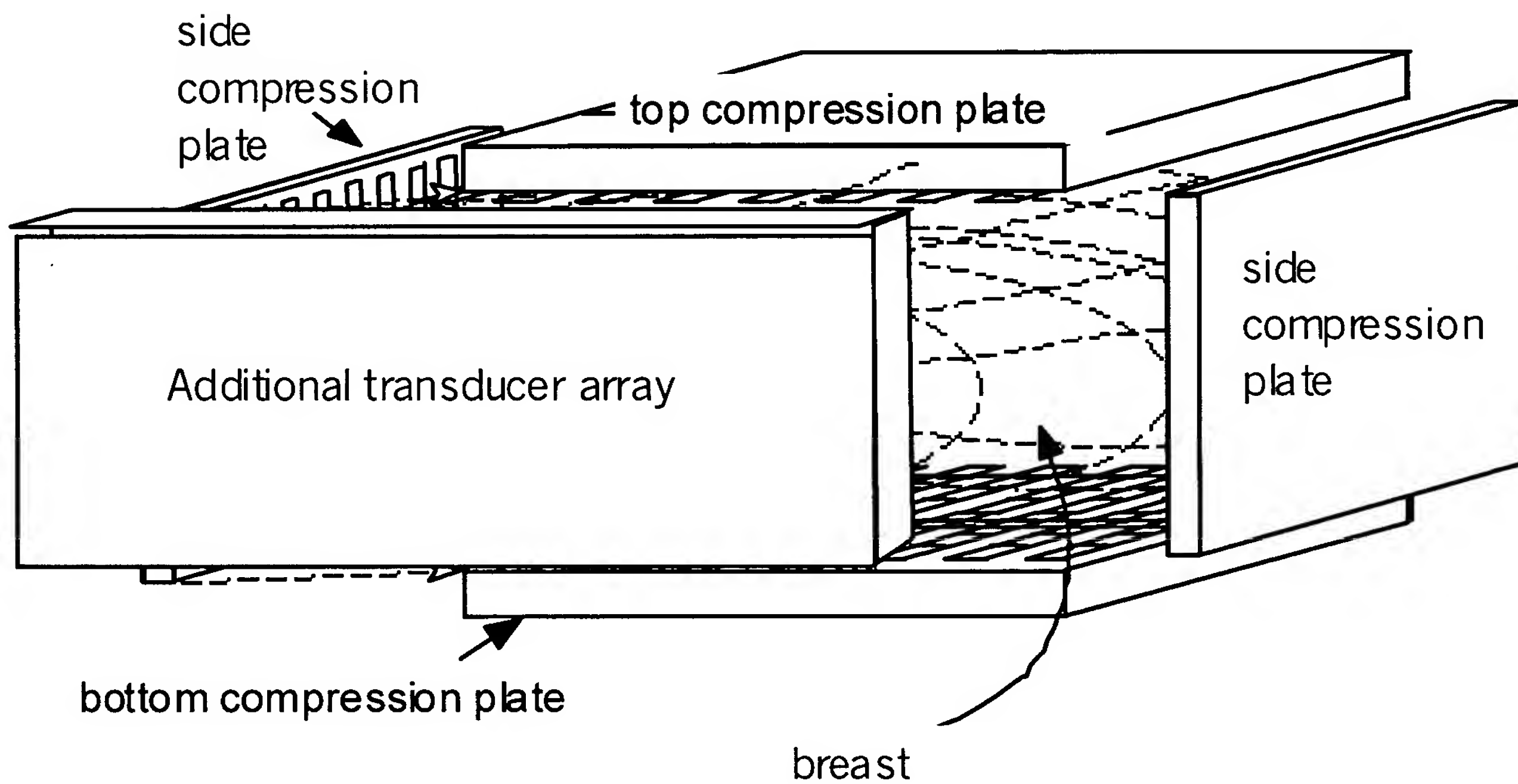






Fig. 5.a

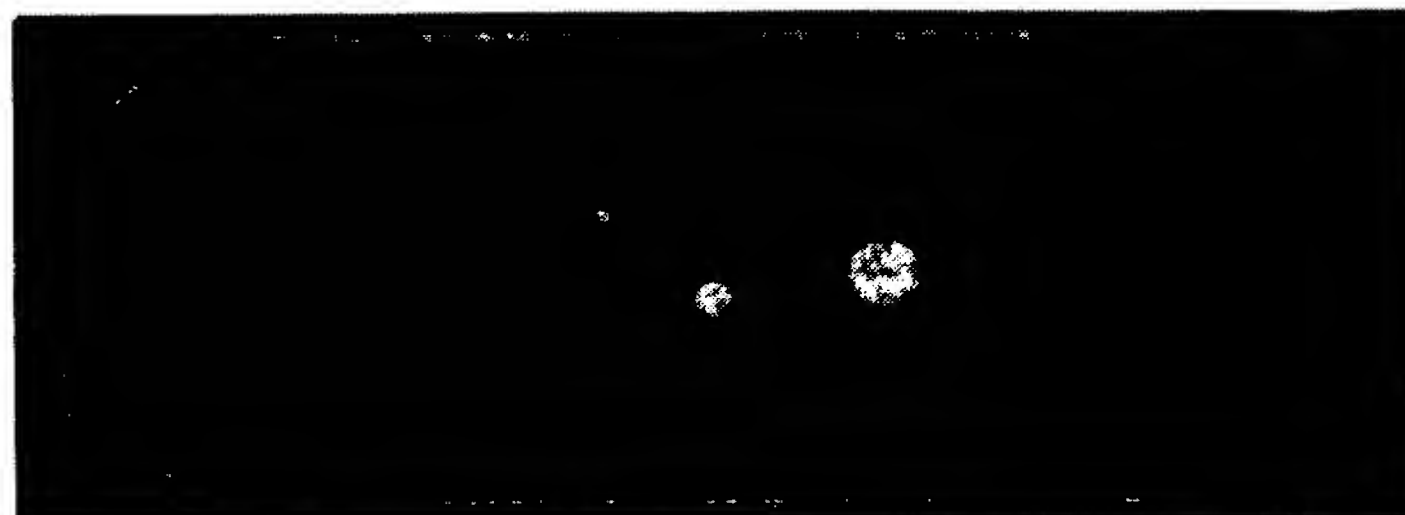


Fig. 5.b



Fig. 5.c

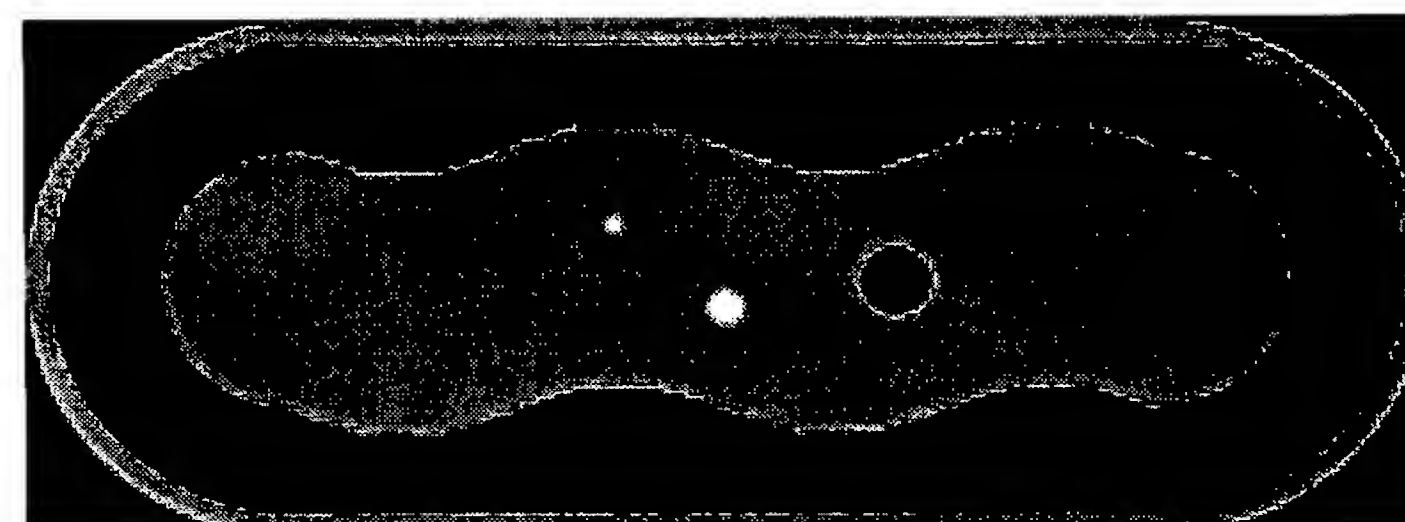


Fig. 5.d

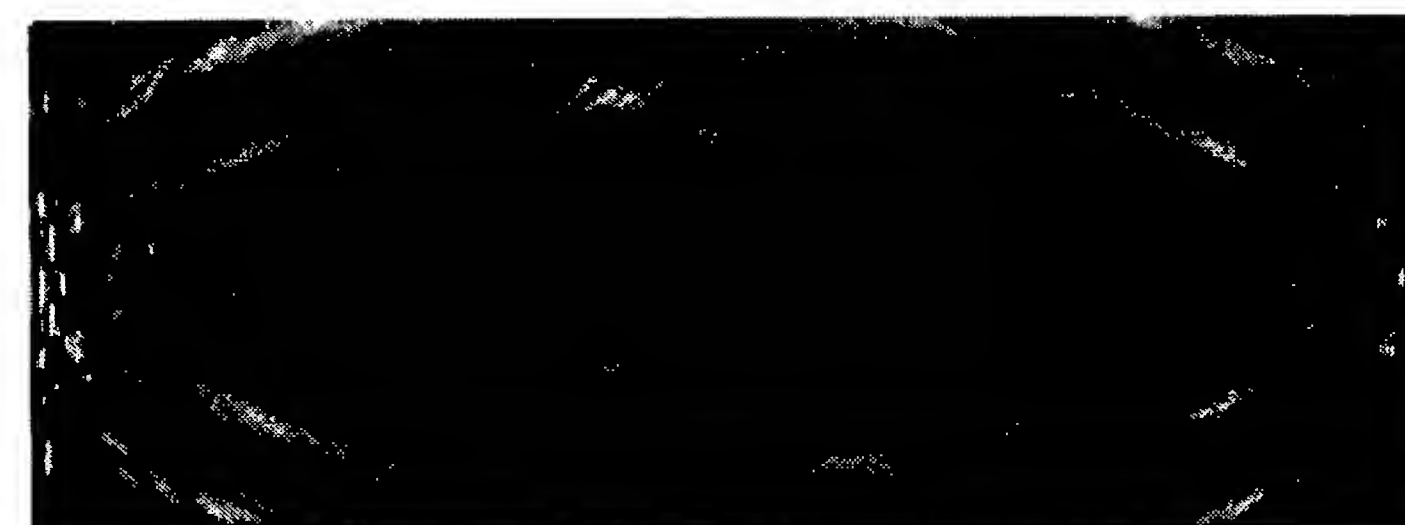


Fig. 5.e







Fig. 6.a

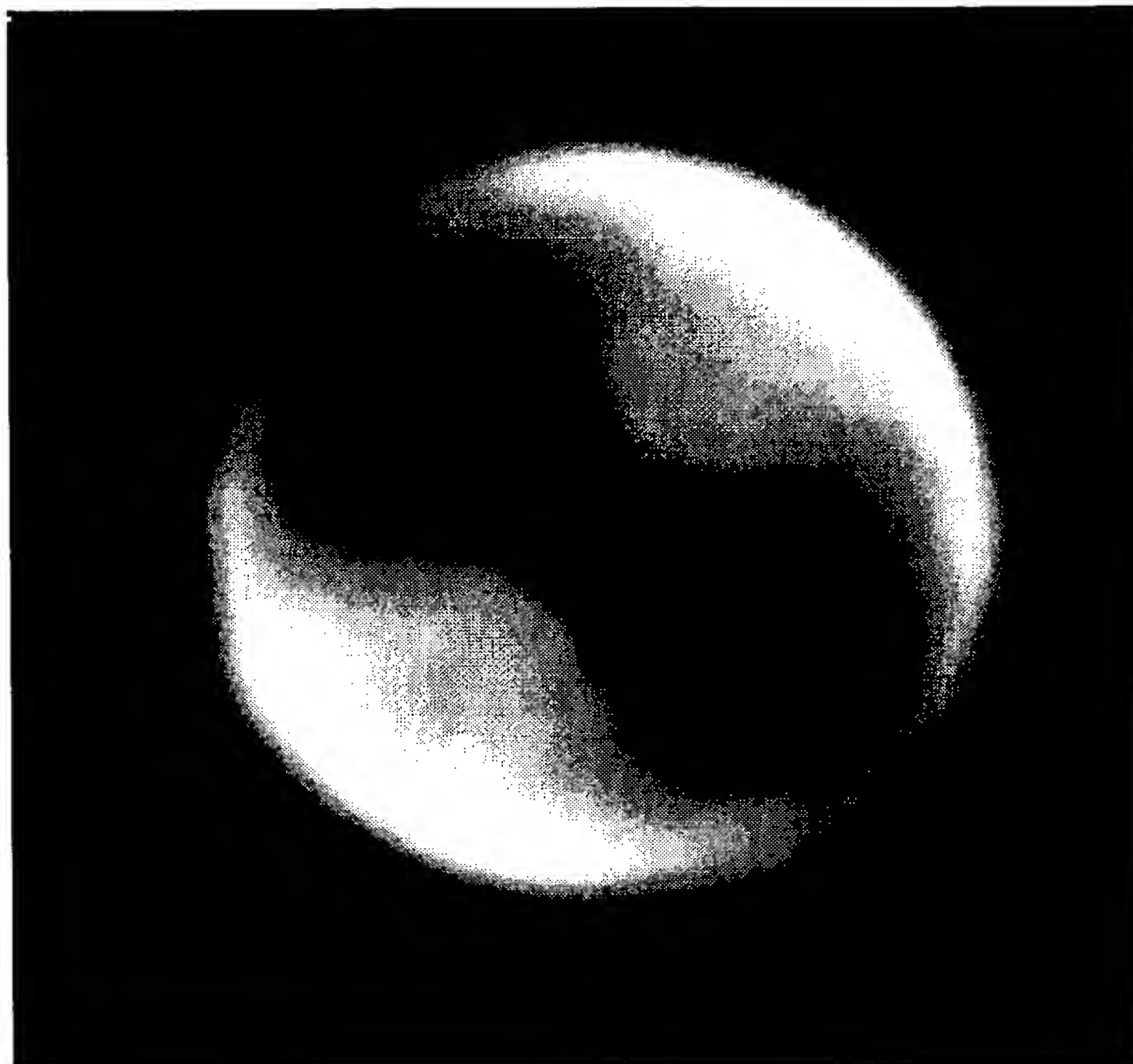


Fig. 6.b

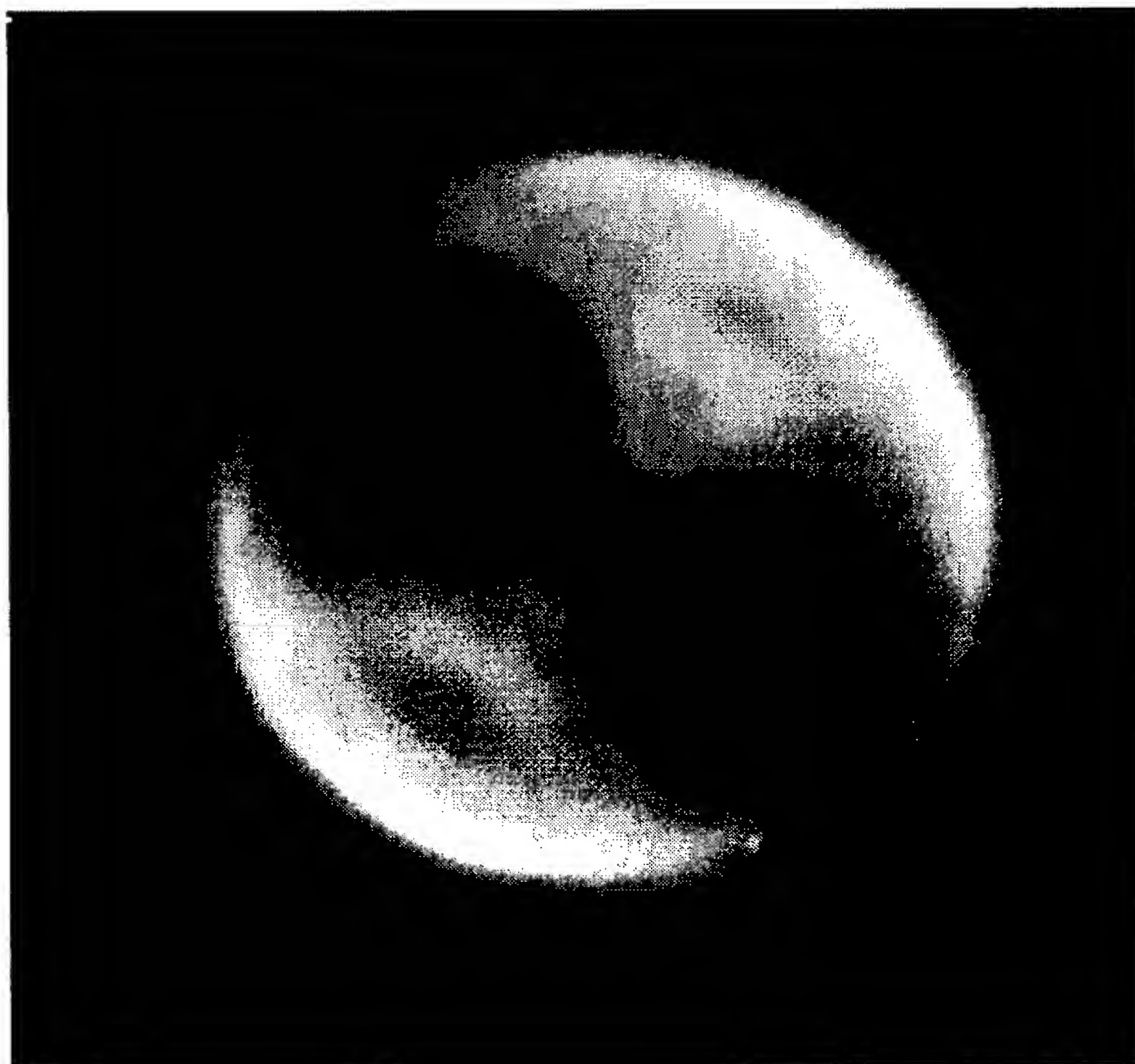




Fig. 7.a

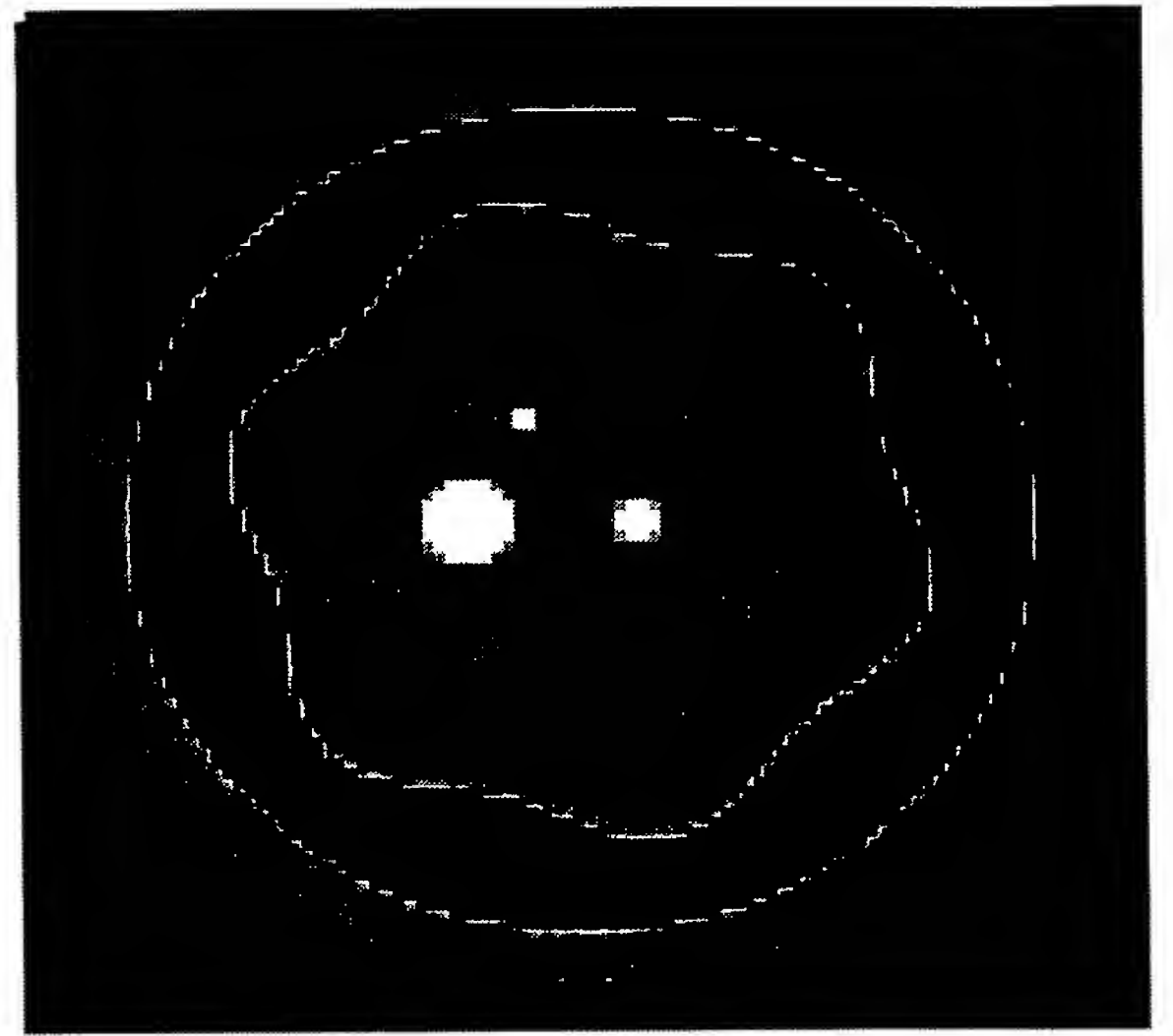
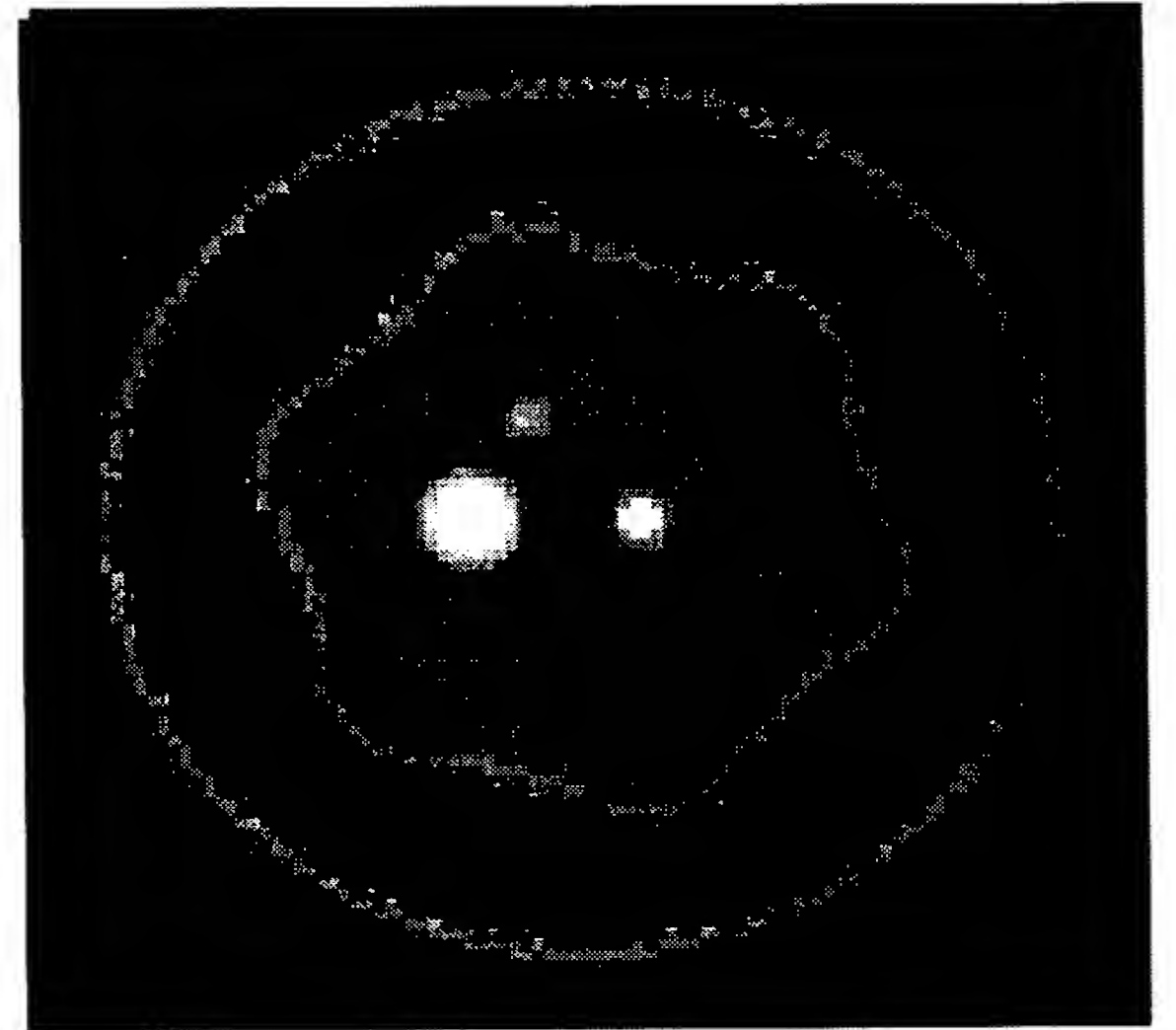


Fig. 7.b



comparison of the true (solid) and  
reconstructed (dashed)  $c_0/c-1$   
on the x-axis

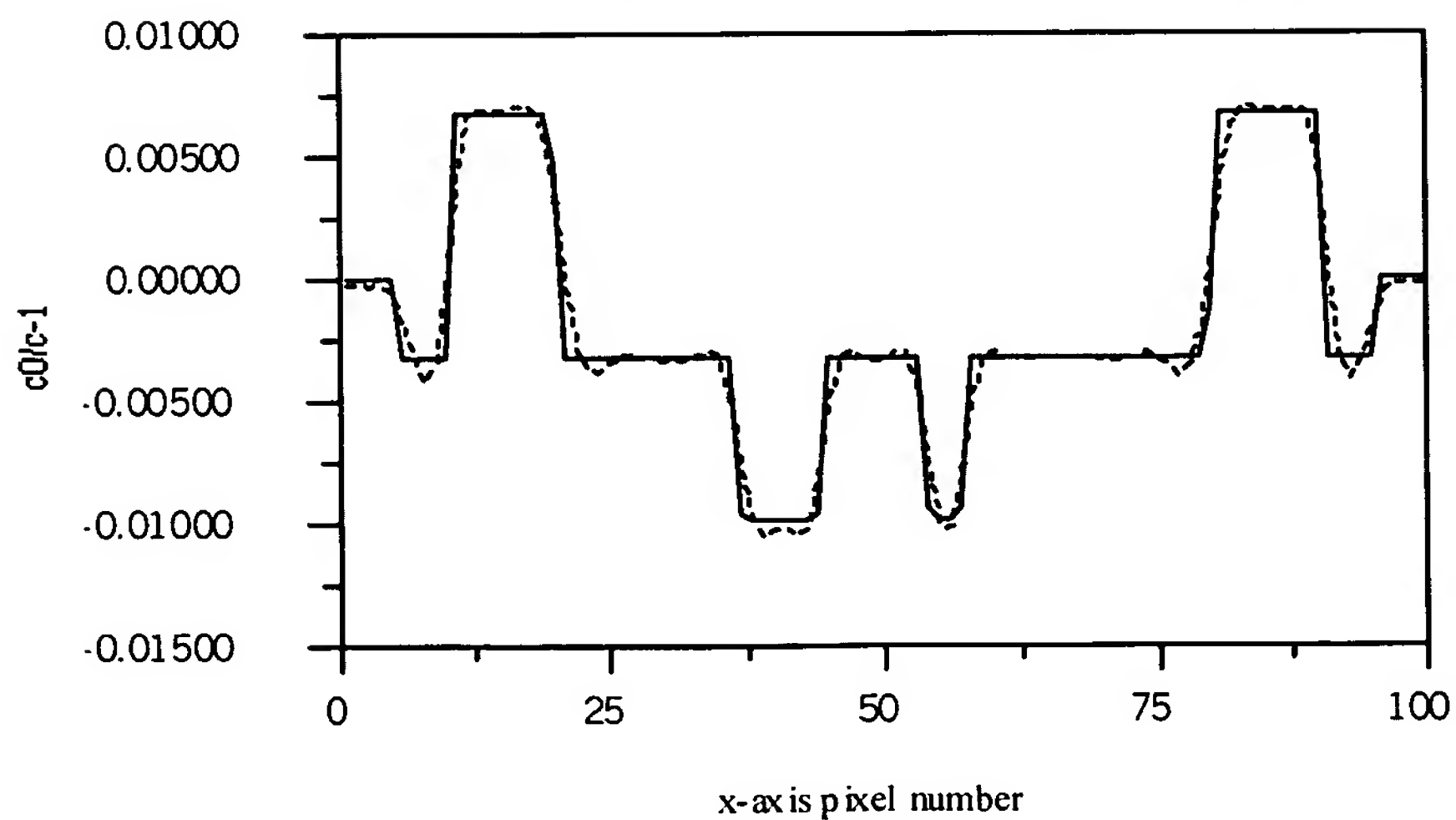
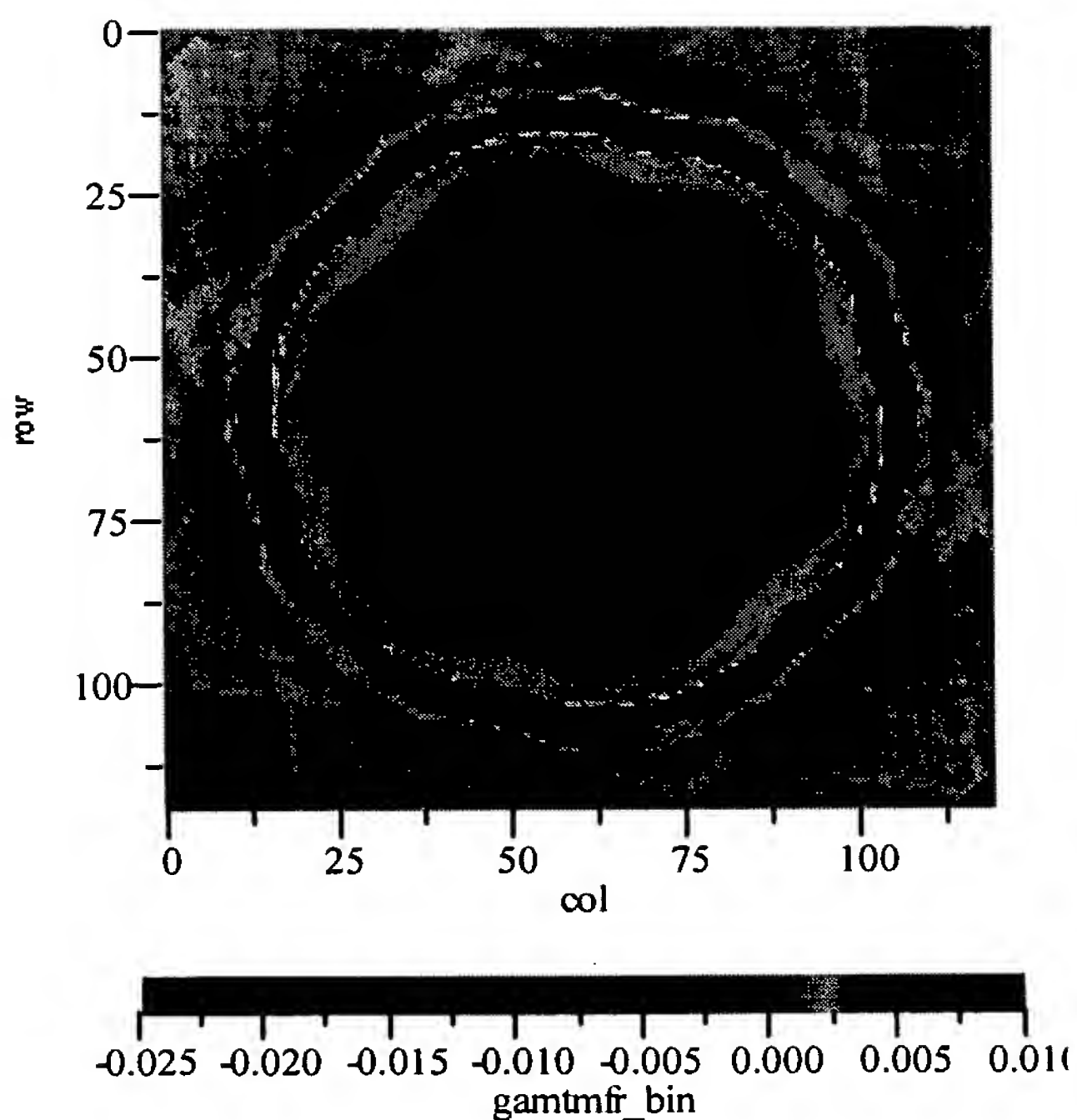
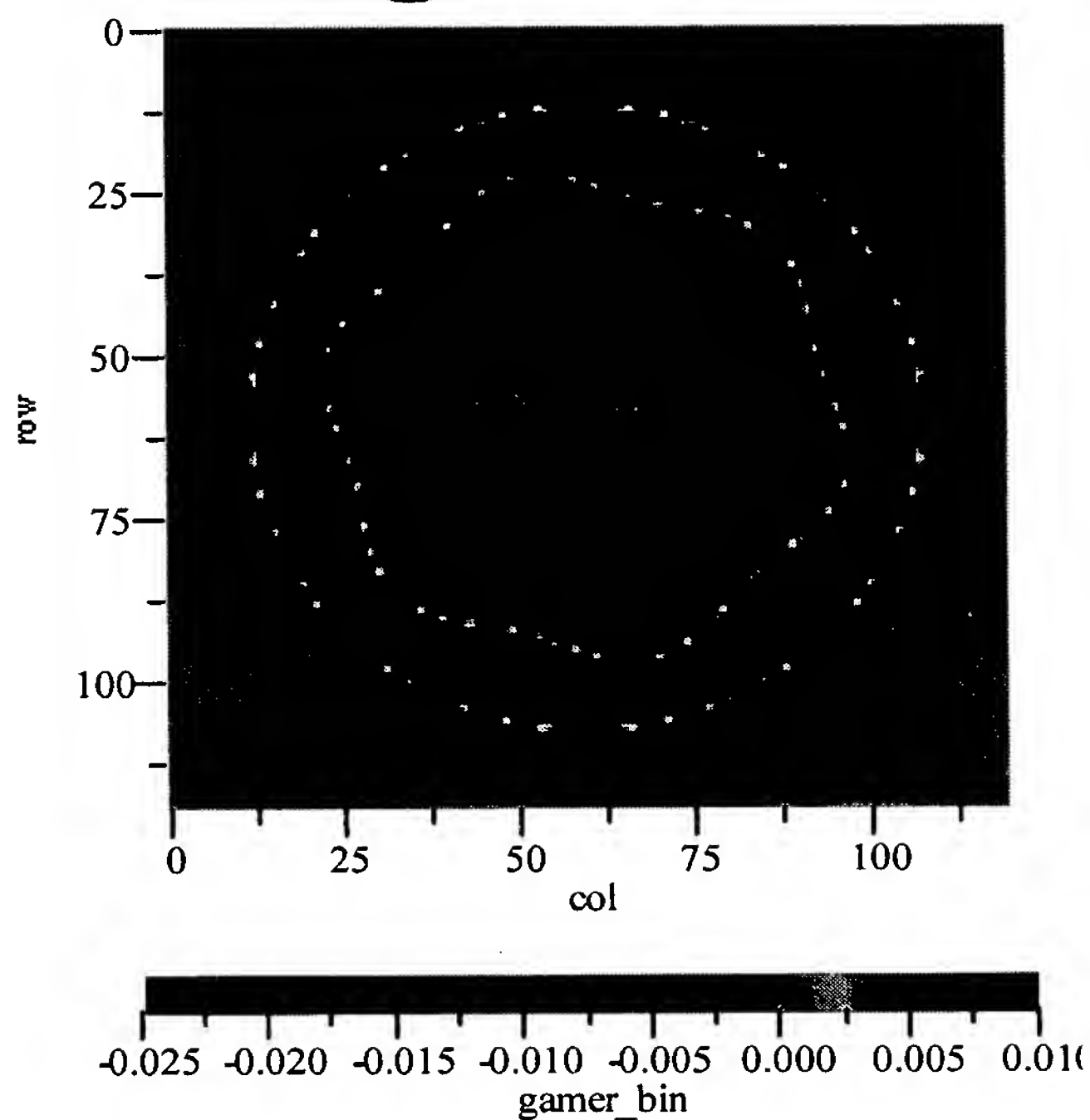


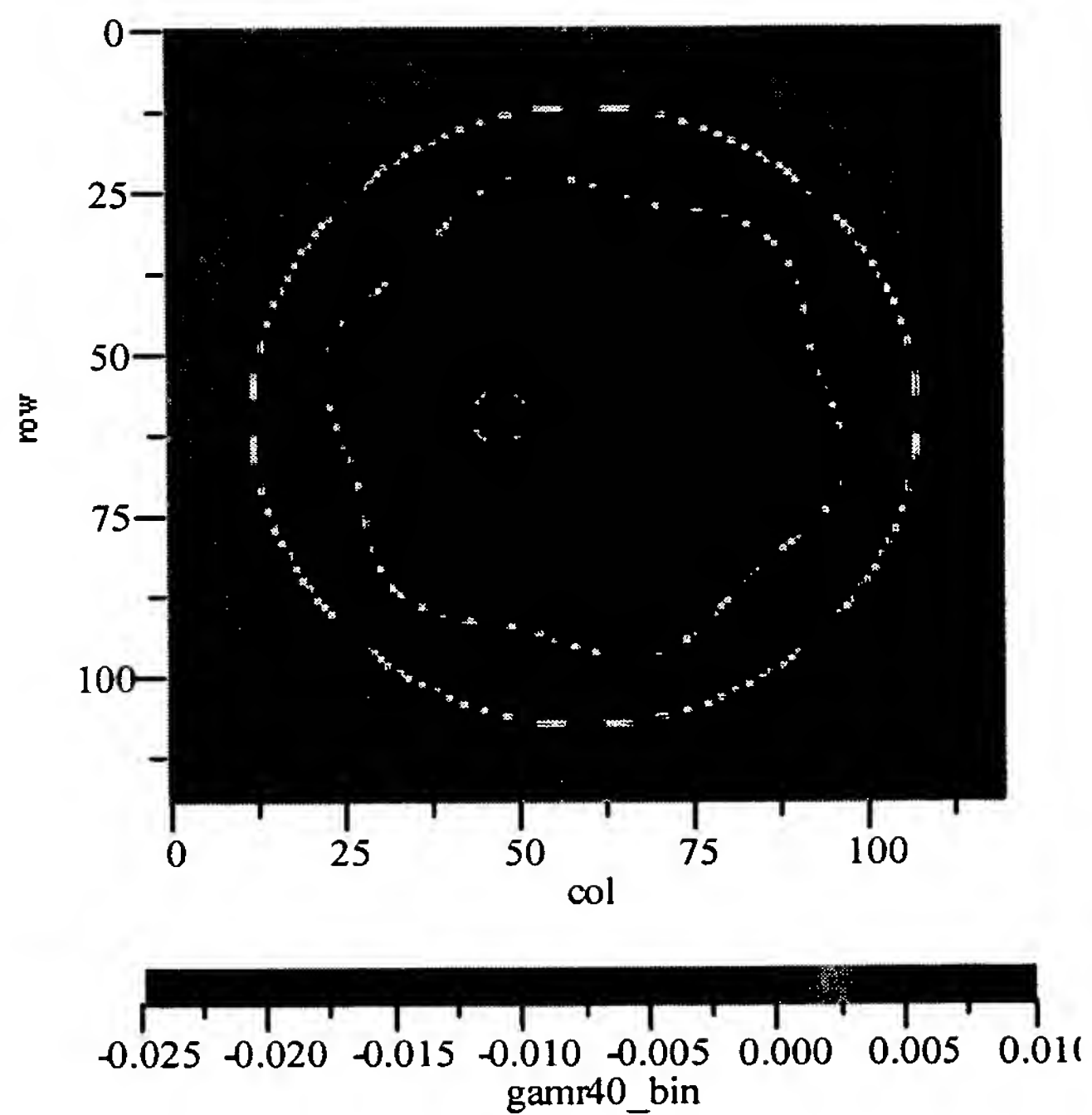
Fig. 7.c



# Fig. 8.a



# Fig. 8.b



# Fig. 8.c



Fig. 9.a

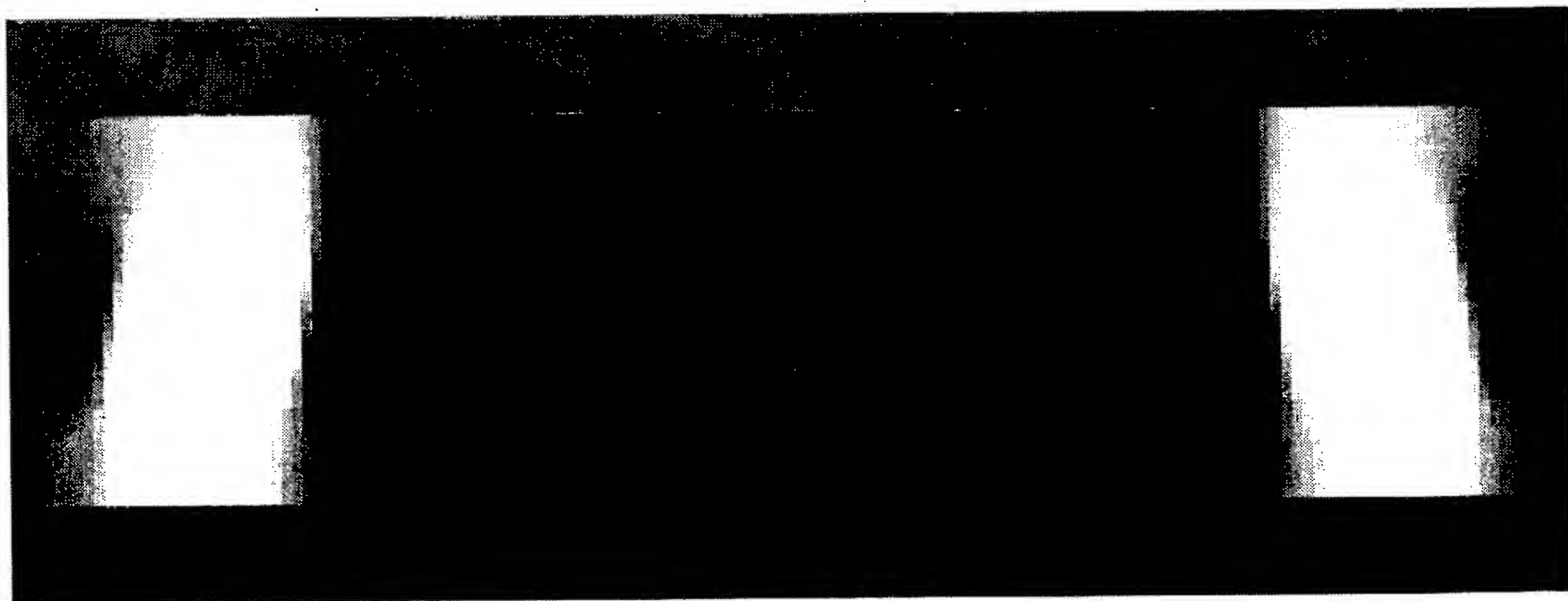
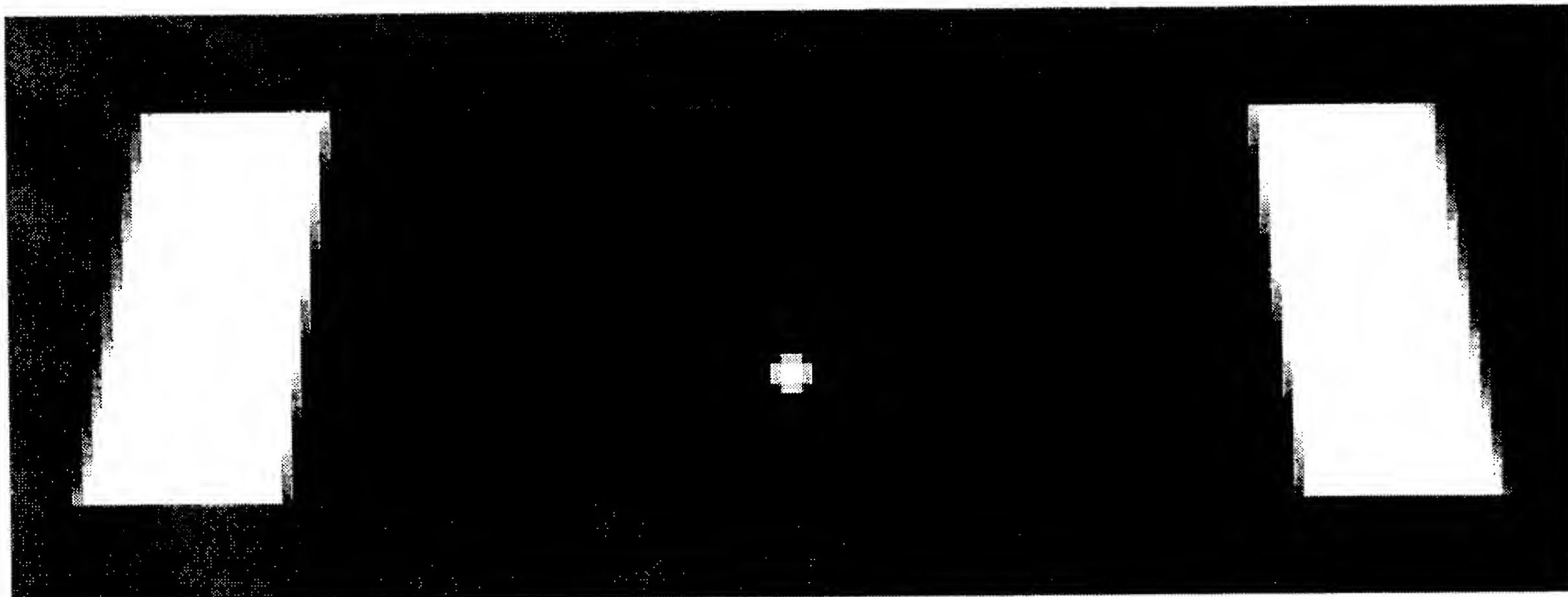


Fig. 9.b



Fig. 10a



Fig. 10b

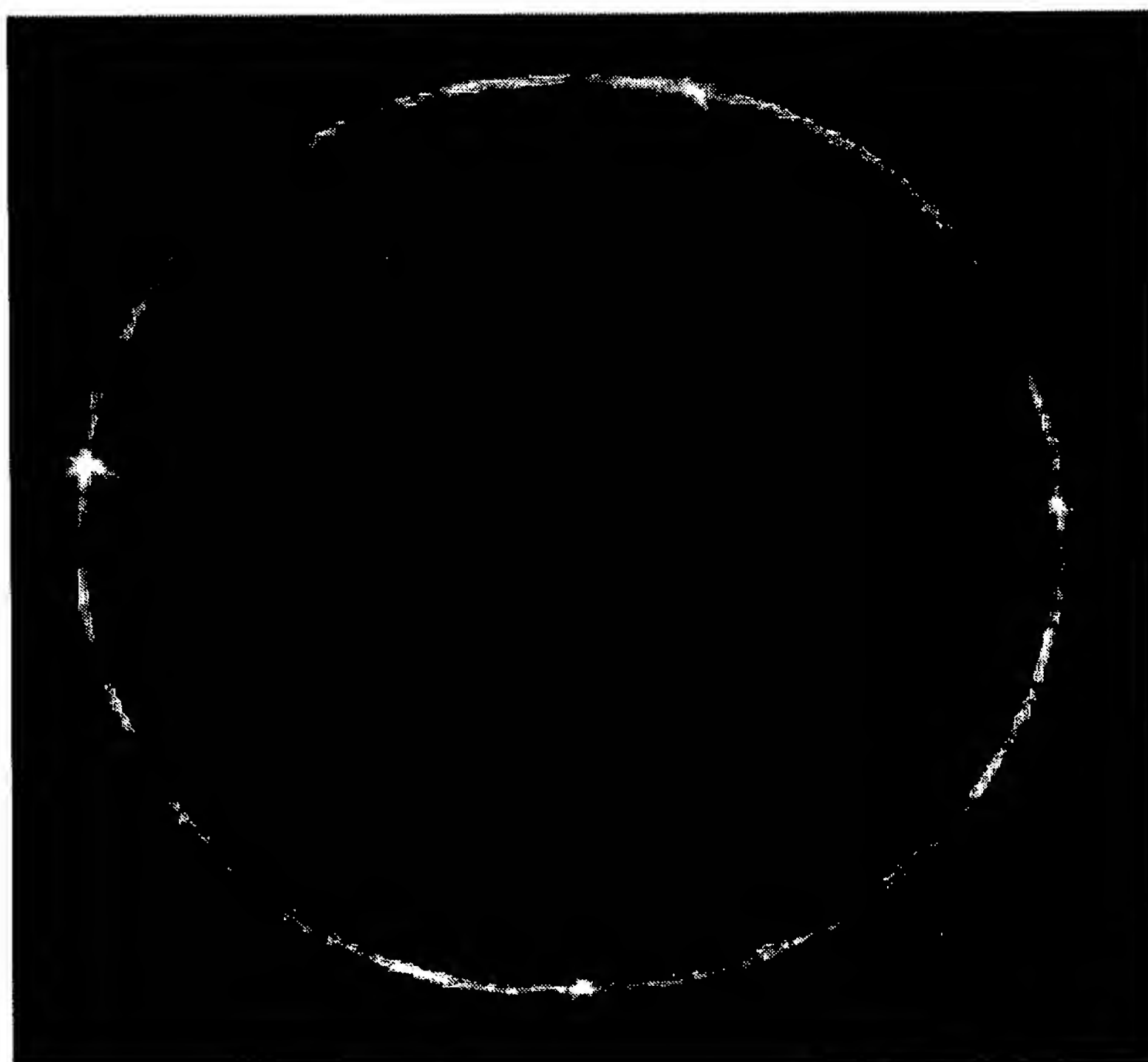




Fig. 11

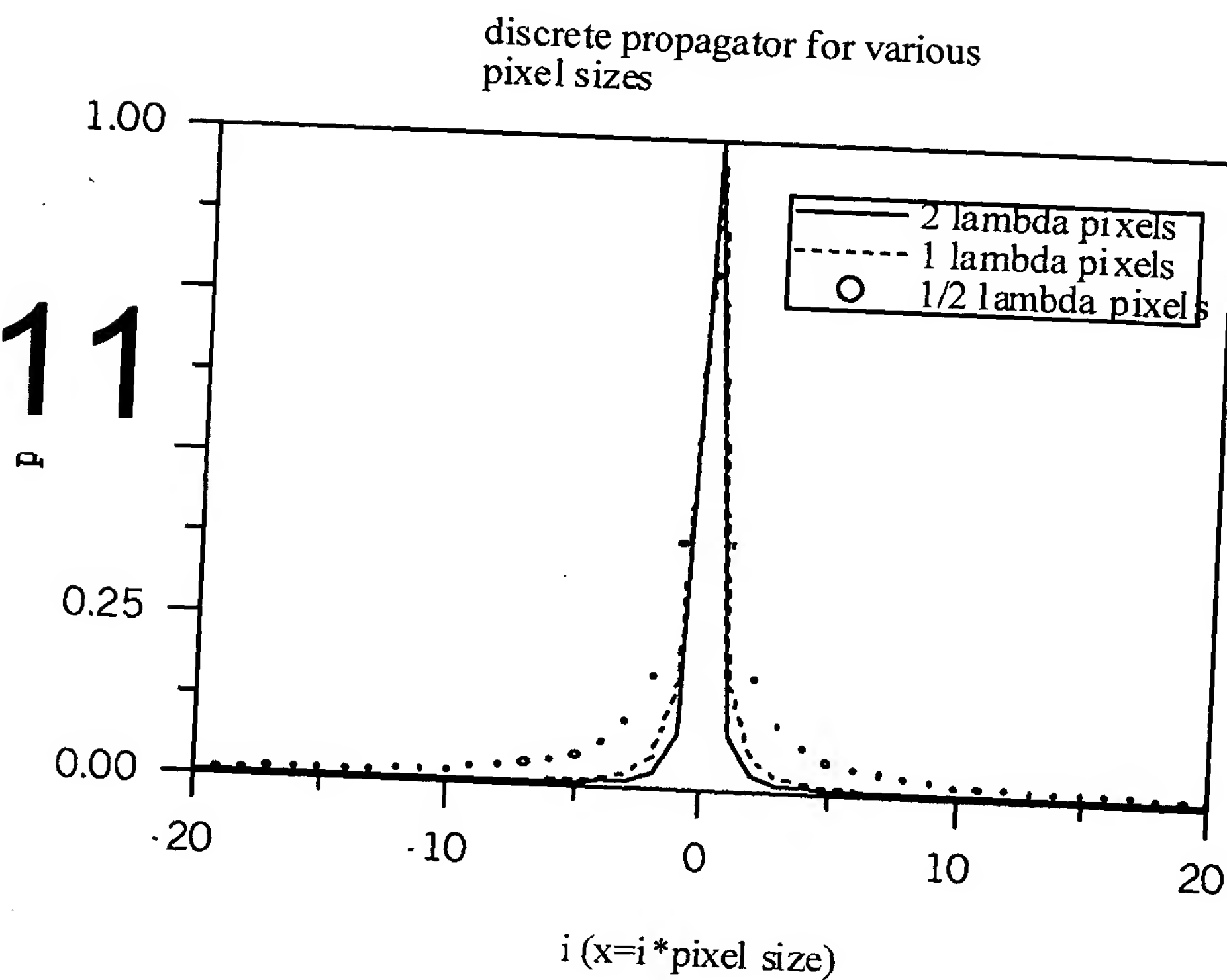
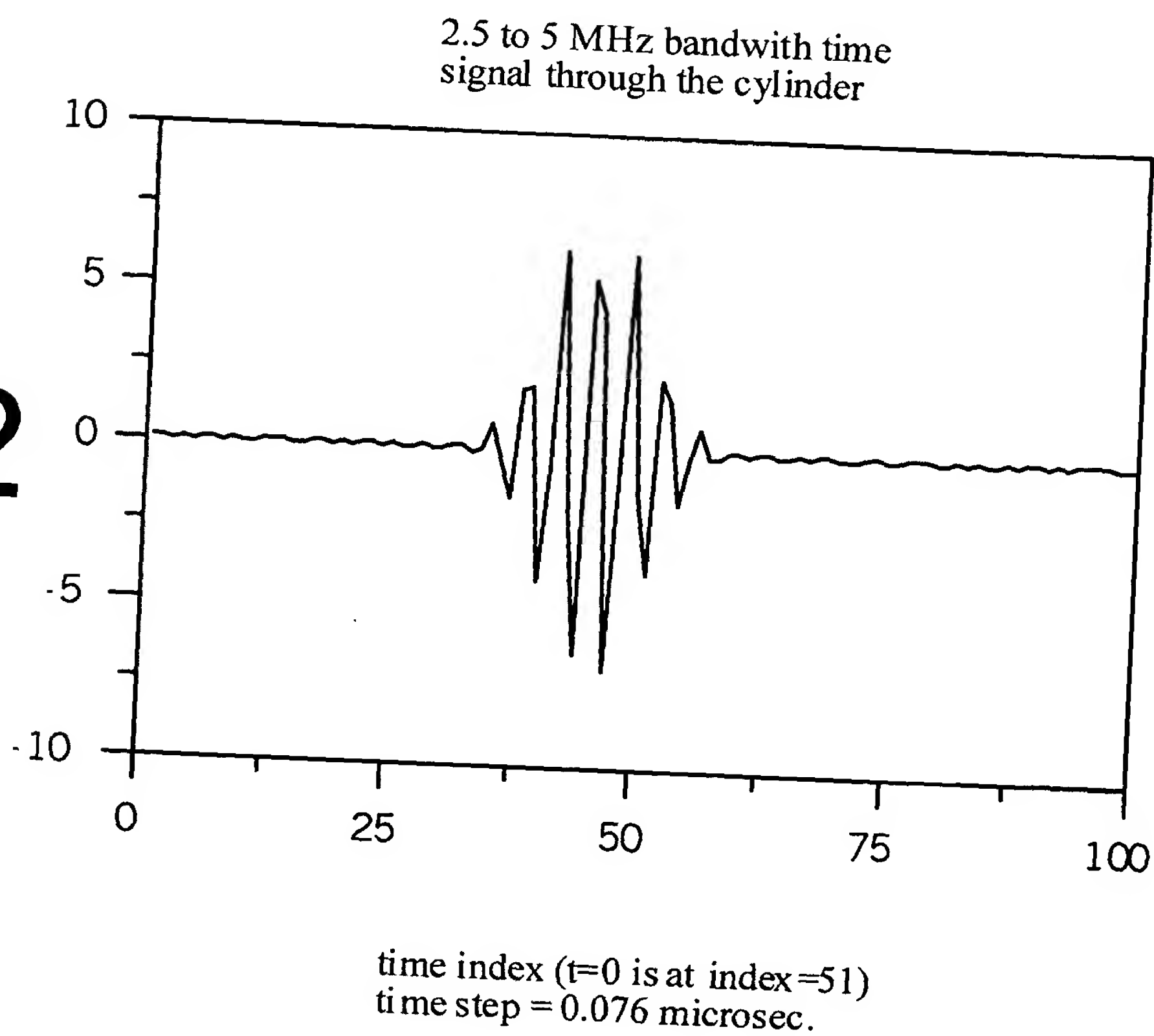


Fig. 12





# Fig. 13

